

Figura 4.4b Aumento de la Fig. 4.4a x 3000, agregados de partículas.

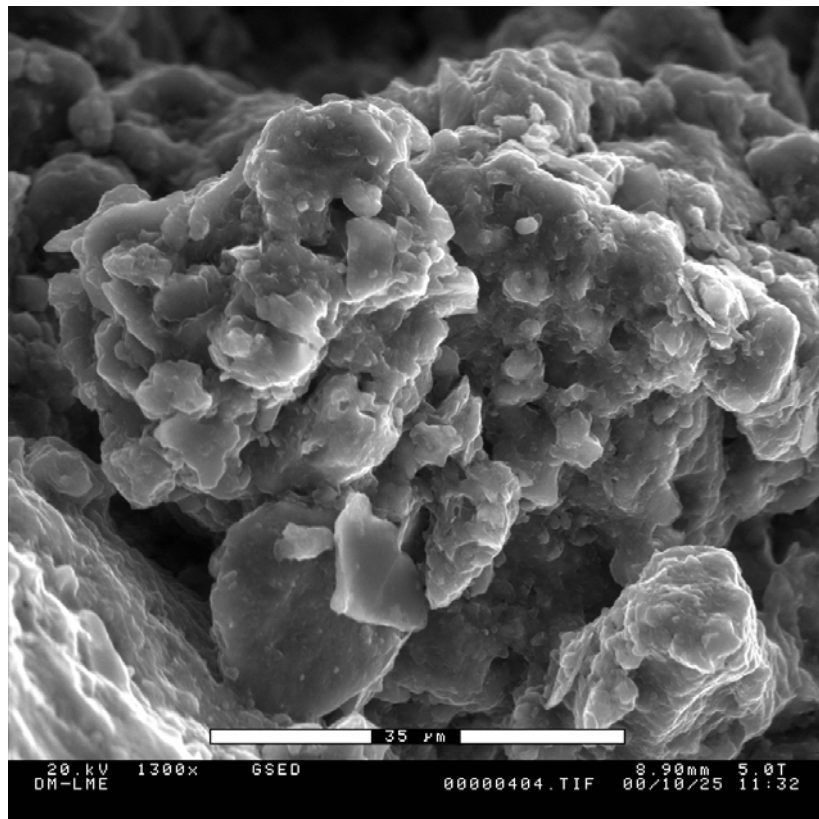


Figura 4.4c Estructura del suelo colapsado bajo inundación ($\rho_d=1.53 \text{ g/cm}^3$, $w=8.0 \%$ y $n=42 \%$).

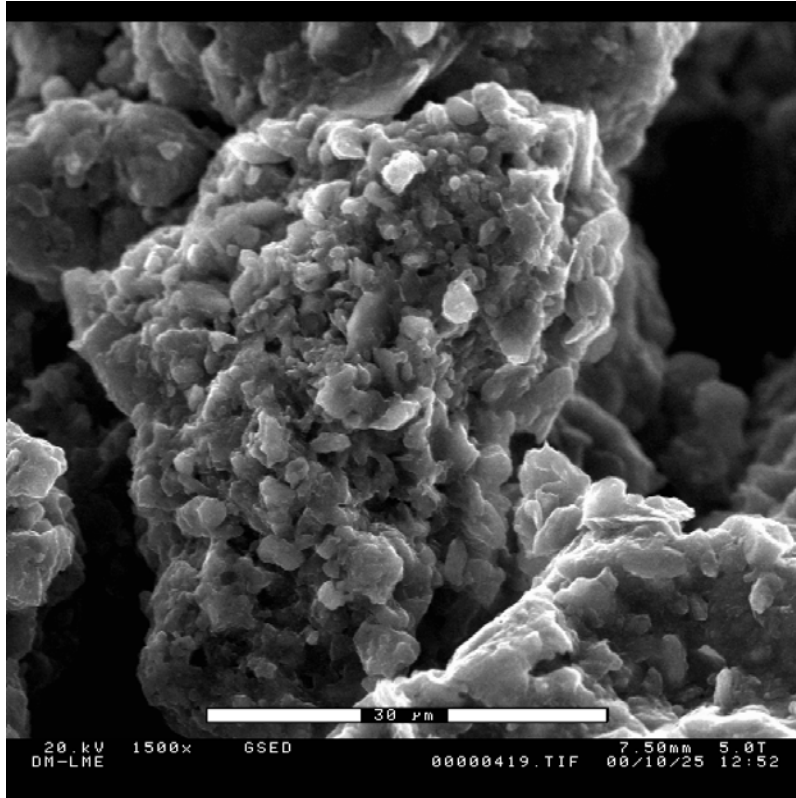


Figura 4.4d Estructura de suelo colapsado bajo el proceso de hidratación por etapas ($\rho_d=1.53$ g/cm³, w=8.0 % y n= 42%).



Figura 4.5 Porosímetro por intrusión de mercurio (Micromeritics).